

# Модификация алгоритмов ШИМ в прерывистом и непрерывном режимах для трехфазного инвертора в косоугольной системе координат

Артем Н. Прокшин

Санкт-Петербургский  
государственный  
электротехнический  
университет «ЛЭТИ»

им. В.И. Ульянова (Ленина)

Санкт-Петербургский  
государственный университет

ООО «Русское

Электротехническое Общество»

anprokshin@etu.ru

АльМустафа Саад

Санкт-Петербургский  
государственный  
электротехнический  
университет «ЛЭТИ»

им. В.И. Ульянова (Ленина)

saadmoustafa96@gmail.com

Геннадий А. Карпов

Санкт-Петербургский  
государственный университет

g.a.karpov@spbu.ru

Алексей Д. Кузнецов

ООО «Русское  
Электротехническое Общество»

adk@ruselco.com

Николай И. Татаринцев

Санкт-Петербургский  
государственный  
электротехнический  
университет «ЛЭТИ»

им. В.И. Ульянова (Ленина)

nitatarintsev@etu.ru

Александр В. Трофимов

Санкт-Петербургский  
государственный  
электротехнический  
университет «ЛЭТИ»

им. В.И. Ульянова (Ленина)

avtrofimov@etu.ru

**Аннотация.** Данная статья приводит вывод уравнений для ШИМ в системах управления трехфазными инверторами в косоугольной системе координат с осями, сонаправленными с измеренными фазными токами и линейными напряжениями. Простой физический смысл величин в косоугольной системе координат понуждает к пересмотру алгоритмов управления ШИМ для трехфазных инверторов в непрерывном и прерывистом режимах. Использование измеренных значений токов и линейных напряжений проще, чем переход к фазным напряжениям и переход в декартову систему координат и обратно, предлагаемый цепочкой прямых и обратных преобразований Парка и Кларк. Представленный алгоритм ШИМ для трехфазных инверторов используется в 600-киловаттной береговой зарядной станции для электрических речных трамвайчиков в городе Москва.

**Ключевые слова:** косоугольная система координат, прерывистый ШИМ, векторный ШИМ, непрерывный режим ШИМ

## I. КОСОУГОЛЬНЫЕ КООРДИНАТЫ В ТРЕХФАЗНОЙ ЭЛЕКТРИЧЕСКОЙ МАШИНЕ И ИХ СВЯЗЬ С ИЗМЕРЯЕМЫМИ ВЕЛИЧИНАМИ

Рассматриваем трехфазный инвертор напряжения, работающий совместно с электрической машиной или электрической сетью. Трехфазное соединение инвертора осуществляется без нулевого провода, следовательно мгновенные токи фаз подчиняются уравнению Кирхгофа:

$$i_A + i_B + i_C = 0. \quad (1)$$

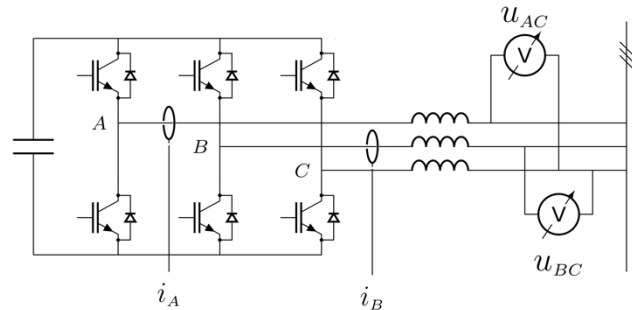


Рис. 1. Измерение токов и напряжений в трехфазном инверторе напряжения

Инвертор соединен с сетью через трехфазный дроссель, чтобы ступенчатые переключения напряжения на стороне постоянного тока не приводили к ступенчатому характеру напряжения со стороны сети. Индуктивность дросселя выбирается из условия:

$$L \frac{\Delta i}{\Delta t} = \Delta u$$

здесь  $\Delta u$  – линейное напряжение,  $\Delta t$  – полупериод ШИМ,  $\Delta i$  – колебания тока, обычно 5–10 % от действующего значения  $I$ . Например, для  $\Delta u = 540$  В, периода ШИМ 5 кГц, тока 1000 А получаем значение  $L = 0,0005$  Гн.

Схема подключения датчиков для измерения мгновенных значений токов и линейных напряжений, используемых в симметричном трехфазном инверторе

напряжения, ведомым промышленной сетью, представлена на рис. 1.

Датчики токов могут быть установлены с любой стороны от дросселя. Датчики линейного напряжения устанавливаются на стороне дросселя, противоположной инвертору. Линейные напряжения на дросселе со стороны инвертора известны из системы управления ключами и известном напряжении звена постоянного тока.

При указанном на рис. 1 расположении датчиков, пользуясь законом Кирхгоффа (1), введя «нулевой» потенциал  $u_0$  (здесь  $u_0$  может изменяться во времени) неизменяемого непосредственно датчиками фазного напряжения для передаваемой мощности, имеем:

$$\begin{aligned} P &= i_A u_{AC} + i_B u_{BC} = \\ &= i_A (u_A - u_0 - (u_C - u_0)) + i_B (u_B - u_0 - (u_C - u_0)) = \\ &= i_A u_A + i_B u_B - u_C (i_A + i_B) = i_A u_A + i_B u_B + i_C u_C, \end{aligned}$$

и равна мощности трех фаз.

Выражение для мощности

$$P = i_A u_{AC} + i_B u_{BC} \quad (2)$$

совпадает буквально с величиной мощности, измеряемой по методу двух ваттметров Аарона [1]: мгновенные измеренные значения  $i_A$  токовой обмотки и  $u_{AC}$  обмотки напряжения одного ваттметра, и  $i_B$  и  $u_{BC}$  – другого ваттметра. «Нулевой» потенциал  $u_0$  фазных напряжений может совпадать с потенциалом точки соединения трех фаз по схеме звезды, но может быть выбран произвольно и, как правило, выбирается из условия:

$$u_A + u_B + u_C = 0 \quad (3)$$

В косоугольной системе координат с единичными базисными векторами вдоль осей  $|\vec{e}_1| = 1$  для модуля произвольного вектора с перпендикулярными проекциями  $x_i$  и компонентами разложения  $x^i$  этого вектора по базисным векторам  $\vec{e}_i$ , где  $i$  пробегает номера осей  $\{1, 2\}$ , имеем:

$$|\vec{X}| = \sqrt{x_1 x^1 + x_2 x^2}.$$

Здесь и далее  $i$  в записи  $x^i$  не степень, а верхний индекс, аналогично,  $x_i$  – нижний индекс [2, 3]. Скалярное произведение двух векторов записывается в виде:

$$(\vec{X}, \vec{Y}) = x^1 y_1 + x^2 y_2 = y^1 x_1 + y^2 x_2 \quad (4)$$

Вектора  $\vec{e}^i$ , выбранные по правилу

$$(\vec{e}^i, \vec{e}^k) = \delta_k^i.$$

образуют взаимный или сопряженный, или двойственный базис. Здесь  $i, k$  пробегает номера осей  $\{1, 2\}$ ,  $\delta_i^j$  – символ Кронекера, такой что:

$$\delta_i^j = \begin{cases} 1, & \text{при } i = j \\ 0, & \text{при } i \neq j \end{cases}$$

Поскольку вектор  $\vec{e}^1$  перпендикулярен  $\vec{e}_2$ , а  $\vec{e}^2$  перпендикулярен  $\vec{e}_1$  то направление векторов  $\vec{e}^i$  можно выбрать двумя способами. Направление выбирают таким

образом, чтобы угол между  $\vec{e}^i$  и  $\vec{e}_i$  был острым. При таком определении единицы измерения базисных векторов  $\vec{e}^i$  двойственных осей не совпадают с единицами измерения базисных векторов  $\vec{e}_i$  базовых осей:

$$|\vec{e}^i| \neq |\vec{e}_i| = 1$$

Произвольный вектор  $\vec{X}$  разлагается по базовым осям

$$\vec{X} = x^1 \vec{e}_1 + x^2 \vec{e}_2.$$

а также по сопряженным осям

$$\vec{X} = x_1 \vec{e}^1 + x_2 \vec{e}^2.$$

Координаты  $x_i$  называются ковариантными, а  $x^i$  – контравариантными.

Скалярное произведение из разложений по базовым и сопряженным осям:

$$(\vec{X}, \vec{X}) = (x^1 \vec{e}_1 + x^2 \vec{e}_2) (x_1 \vec{e}^1 + x_2 \vec{e}^2) = x^1 x_1 + x^2 x_2$$

здесь координаты  $x_i$  и  $x^i$  разных размерностей.

Ковариантные координаты можно получить из контравариантных:

$$x_k = \sum_{j=1}^2 g_{kj} x^j \quad (5)$$

где  $g_{kj}$  – метрический тензор:

$$g_{kj} = \begin{pmatrix} (\vec{e}_1, \vec{e}_1) & (\vec{e}_1, \vec{e}_2) \\ (\vec{e}_2, \vec{e}_1) & (\vec{e}_2, \vec{e}_2) \end{pmatrix}$$

Формула (5) называется «жонглирование» индексами.

В качестве базовой системы координат выберем оси измеряемых токов  $i_A, i_B$  и фазных напряжений  $u_A, u_B$ . Мгновенная измеряемая величина тока  $i_A$  есть перпендикулярная проекция изображающего вектора  $\vec{i}$ , проведенного из начала координат. У любого вектора  $\vec{x}$ , проведенного из начала координат, проекции на фазные оси А, В, С удовлетворяют уравнению  $x_A + x_B + x_C = 0$ , что выполняется для изображающего вектора тока  $\vec{i}$  сумма проекций которого на оси А, В, С равна нулю по закону Кирхгофа (1). Вследствие выбора потенциала  $u_0$  (3) изображающий вектор фазного напряжения  $\vec{u}$  также проведен из начала координат. Перпендикулярные проекции вектора фазного напряжения  $u_k$  непосредственно неизменяемы. Перпендикулярные проекции  $i_k$  и  $u_k$  являются ковариантными координатами изображающих векторов  $\vec{i}$  и  $\vec{u}$ .

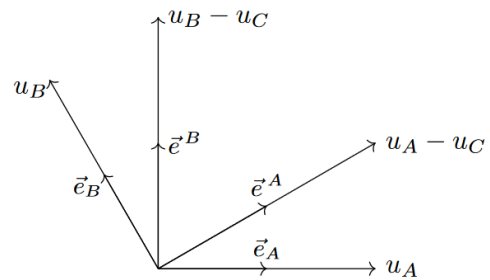


Рис. 2. Оси линейных напряжений совпадают со взаимными осями

Оси линейных напряжений  $u_A - u_C$  и  $u_B - u_C$  оказываются сонаправленными двойственным осям  $U^A$  и  $U^B$ , и изображены на рис. 2. С точки зрения инженера, размерность единиц базисных векторов напряжения, принятая в математике, по двойственным осям  $\vec{e}^k$  отличается от размерности единиц базисных векторов напряжения  $\vec{e}_k$  по базовым осям.

$$|\vec{e}^A| \neq |\vec{e}_A| = 1$$

Однако, мгновенная координата фазного тока  $i_A$  оказывается измеренной в правильной размерности  $|\vec{e}_A| = 1$  а вектор  $i_A \vec{e}_A$  является векторной проекцией вектора  $\vec{i}$  на сопряженную ось  $i^A$ . Векторная проекция фазного напряжения  $u_A \vec{e}_A$  и соотношения ковариантной координаты  $u_A$  и векторной проекции изображены на рис 3.

Выпишем ковариантные координаты:

$$u^k = \sum_{j=A,B} g^{kj} u_j$$

Здесь  $g^{kj}$  – обратный метрический тензор:

$$g^{kj} = \begin{pmatrix} (\vec{e}^A, \vec{e}^A) & (\vec{e}^A, \vec{e}^B) \\ (\vec{e}^B, \vec{e}^A) & (\vec{e}^B, \vec{e}^B) \end{pmatrix} = \begin{pmatrix} 4/3 & 2/3 \\ 2/3 & 4/3 \end{pmatrix}$$

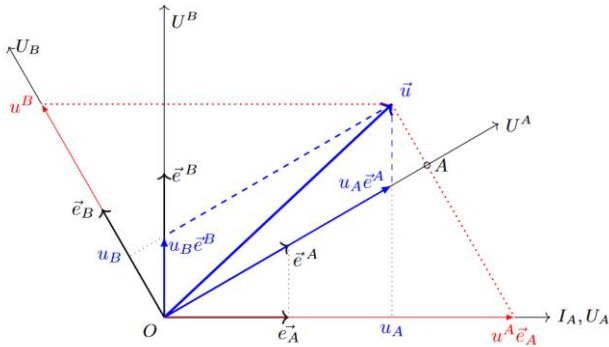


Рис. 3. Геометрическая интерпретация соотношений с контравариантной координатой  $u^A$

$$\begin{aligned} u^A &= g^{AA} u_A + g^{AB} u_B = \frac{4}{3} u_A + \frac{2}{3} u_B = \\ &= \frac{2}{3} u_A - \frac{2}{3} u_C + \frac{2}{3} u_A + \frac{2}{3} u_B + \frac{2}{3} u_C \end{aligned}$$

Здесь сумма последних трех слагаемых может быть сделана равной 0 из-за произвольности в выборе начала отсчета фазных напряжений (3). Выбрав таким образом начало отсчета, получаем:

$$u^A = \frac{2}{3} (u_A - u_C) = \frac{2}{\sqrt{3}} \frac{u_A - u_C}{\sqrt{3}} \quad (6)$$

Контравариантная координата  $u^A$  является разложением изображающего вектора  $\vec{i}$  по базису единичных векторов  $\vec{e}_k$ . Векторная проекция вектора

$u^A \vec{e}_A$  на двойственную ось  $U^A$  равна:

$$|OA| = \frac{u_A - u_C}{\sqrt{3}}$$

откуда для контравариантной координаты  $u^A$  получаем:

$$u^A = \frac{|\vec{e}^A|}{|\vec{e}_A|} |OA| = \frac{2}{\sqrt{3}} \frac{u_A - u_C}{\sqrt{3}}$$

что совпадает с выражением (6).

Для скалярного произведения  $(\vec{i}, \vec{v})$  следуя (4) и (6)

$$(\vec{i}, \vec{v}) = i_A u^A + i_B u^B = \frac{2}{\sqrt{3}} \left( i_A \frac{u_A - u_C}{\sqrt{3}} + i_B \frac{u_B - u_C}{\sqrt{3}} \right)$$

Сравнивая полученное выражение с формулой для мощности (2) получаем правило: мощность P есть скалярное произведение вектора тока, измеренного по фазным осям, и вектора линейного напряжения, измеренного по осям линейного напряжения.

$$P = (\vec{i}, \vec{v}_{\text{линейное}})$$

Наличие простого физического смысла в формулах, получаемых в косоугольной системе координат, вдохновляет переписать алгоритмы управления инвертором в косоугольной системе координат.

## II. МОДИФИЦИРОВАНИЕ АЛГОРИТМОВ

Типичный алгоритм в схеме управления инвертором напряжения показан на рис. 4.

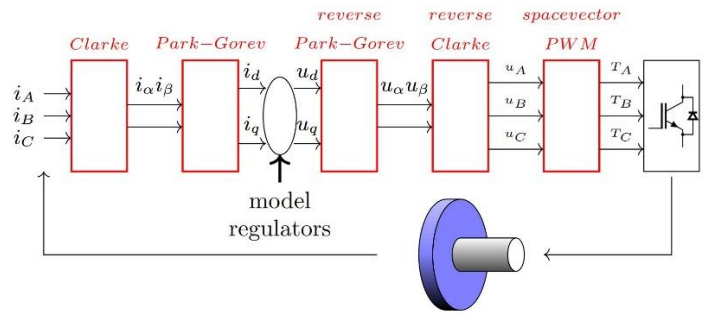


Рис. 4. Типичная схема управления инвертором напряжения

Было запланировано изменить алгоритмы ШИМ в терминах линейных напряжений и фазных токов: прямое и обратное преобразование Парка-Горева, прямое и обратное преобразование Кларк и алгоритм установки скважности ключей в фазах полумостов  $T_a, T_b, T_c$ . Все измененные блоки окрашены красным.

### A. Изменение прямого и обратного преобразования Парка-Горева

Прямое преобразование Парка-Горева – это переход из стационарной координатной системы во вращающуюся координатную систему. Обратное преобразование Парка-Горева делает обратный переход из вращающейся в стационарную координатную систему.

Вместо перевода в стационарную систему с осями  $\alpha$  и  $\beta$  перейдем к косоугольной стационарной системе линейных напряжений  $u_{ac}$  и  $u_{bc}$  на рис. 5.

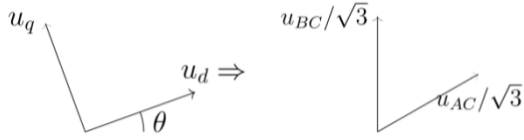


Рис. 5. Трансформация из вращающейся координатной системы в стационарную координатную систему

$$\begin{pmatrix} \frac{u_{AC}}{\sqrt{3}} \\ \frac{u_{BC}}{\sqrt{3}} \end{pmatrix} = \begin{pmatrix} \cos\left(\theta - \frac{\pi}{6}\right) & -\sin\left(\theta - \frac{\pi}{6}\right) \\ \sin\theta & \cos\theta \end{pmatrix} \cdot \begin{pmatrix} u_d \\ u_q \end{pmatrix}$$

Здесь  $u_d$  и  $u_q$  — это координаты изображающего вектора напряжения во вращающейся системе координат,  $\theta$  — вектор между вращающейся и неподвижной системой координат.  $\frac{u_{ac}}{\sqrt{3}}$  — это нормализация линейного напряжения к единице.

### В. Вывод алгоритма для скважностей

Найдем координаты вектора как центр масс весов  $m_0, m_1, m_2$  в секторе I. Максимальная амплитуда вектора линейного напряжения выбрана так, чтобы  $u_{acmax} = 1, u_{bcmax} = 1$ . Ось линейного напряжения  $U_{BC}$  выбрана как показано на рис. 6 из точки  $O'$  в точку  $O''$ . Веса для сектора I расположены как показано на рис. 6.

$$\vec{u} = m_0 \vec{U}_0 + m_1 \vec{U}_1 + m_2 \vec{U}_2.$$

Из закона Архимеда для рычага

$$|u_{ac}|m_0 = (u_{acmax} - |u_{ac}|)(m_1 + m_2)$$

получаем [4] систему уравнений:

$$\begin{cases} u_{ac}m_0 = (u_{acmax} - u_{ac})(m_1 + m_2) \\ u_{bc}(m_0 + m_1) = (u_{acmax} - u_{ac})m_2 \\ m_0 + m_1 + m_2 = 1 \end{cases} \quad (3)$$

Здесь сумма  $m_0 + m_1 + m_2 = 1$  выражает тот факт, что мы в секторе I.

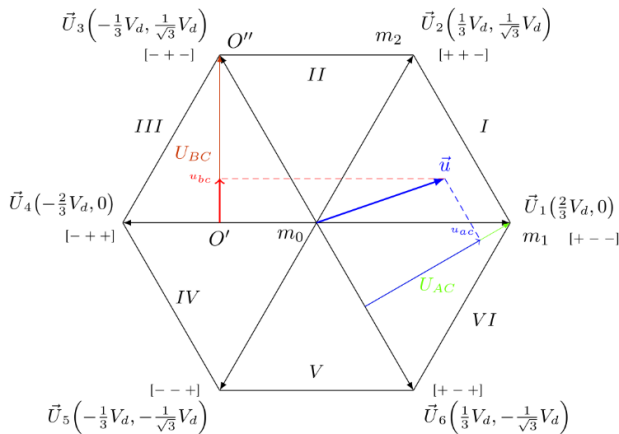


Рис. 6. Изображающий вектор линейного напряжения в секторе I

Выводы из системы (3) сведены в табл. I.

	ТАБЛИЦА I. ВЕСА КОМБИНАЦИЙ $U_i, i = 0, \dots, 7$					
	I	II	III	IV	V	VI
$m_1$	$u_{ab}$	$u_{ac}$	$u_{bc}$	$u_{ba}$	$u_{ca}$	$u_{cb}$
$m_2$	$u_{bc}$	$u_{ba}$	$u_{ca}$	$u_{cb}$	$u_{ab}$	$u_{ac}$

Хотя этот результат представлен в литературе [5] мы вывели этот результат, не пользуясь декартовой системой координат и комплексной плоскостью, координаты которой тоже является декартовыми координатами.

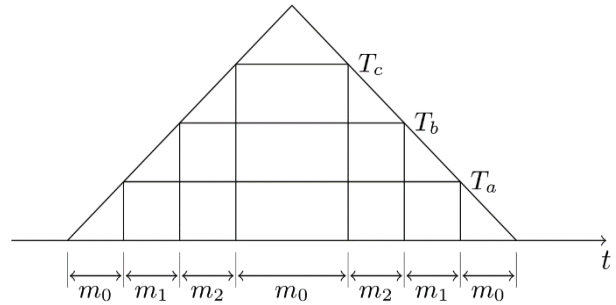


Рис. 7. Установки таймеров в непрерывном режиме, сектор I,  $1 - T_a = T_c$

Для ШИМ в непрерывном режиме для сектора I скважности  $T_a, T_b, T_c$  подчиняются системе уравнений

$$\begin{cases} 1 - T_a + T_c = 1 - (m_1 + m_2) \\ T_a - T_b = m_1 \\ T_b - T_c = m_2 \end{cases} \quad (4)$$

Первое уравнение линейно зависимо и может быть заменено уравнением, которое выражает факт, что часть нулевого вектора  $U_7$ , когда все полумосты соединены с положительной шиной, равна нулевому вектору  $U_0$ , когда все полумосты соединены с отрицательной шиной:

$$1 - T_a = T_c.$$

Мы получаем систему уравнений в матричной форме:

$$\begin{pmatrix} 1 & -1 & 0 \\ 0 & 1 & -1 \\ 1 & 0 & 1 \end{pmatrix} \begin{pmatrix} T_a \\ T_b \\ T_c \end{pmatrix} = \begin{pmatrix} m_1 \\ m_2 \\ 1 \end{pmatrix} \quad (5)$$

Введем переменные для скважностей ШИМ, где  $T'_i$  изменяется от -1 до 1, в то время как  $T_i$  изменяется от 0 до 1.

Окончательно получаем для сектора I:

$$\begin{aligned} T'_a &= u_{ac} \\ T'_b &= -u_{ac} + 2u_{bc} \\ T'_c &= -u_{ac} \end{aligned}$$

Скважности ШИМ в непрерывном режиме для всех секторов приведены в табл. II.

ТАБЛИЦА II. СКВАЖНОСТИ ШИМ В НЕПРЕРЫВНОМ РЕЖИМЕ,  $T_i \in [-1,1]$

	I	II	III	IV	V	VI
$T'_a$	$u_{ac}$		$-u_{ba}$	$-u_{ca}$		$u_{ab}$
$T'_b$		$u_{bc}$	$u_{ba}$		$-u_{cb}$	$-u_{ab}$
$T'_c$	$-u_{ac}$	$-u_{bc}$		$u_{ca}$	$u_{cb}$	

Мы можем заменить первое уравнение в (4) различными уравнениями, также мы можем заменить второе или третье уравнение. Заменяем первое уравнение в (4) условием, что все полумосты преимущественно соединены с отрицательной шиной  $T_c = 0$  в секторе I. Полумост фазы С никогда не будет соединен с положительной шиной в секторе I. Установки таймера для сектора I показаны на рис. 8.

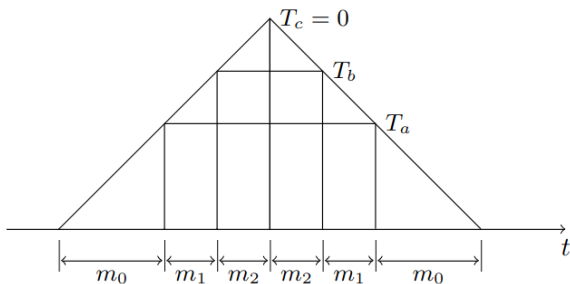


Рис. 8. Установки таймера для прерывистого режима,  $T_c = 0$

Скважности  $T_i \in [0,1]$  для всех секторов представлены в Таблице III. Графики для прерывистого и непрерывного режимов с амплитудой модуляции равной единице, представлены на рис. 9–11.

В прерывистом режиме с амплитудой модуляции много меньше единицы в случае, когда ключи полумостов преимущественно на отрицательной шине мы приложим последовательно относительно небольшое напряжение к фазам  $U_A, U_B, U_C$ , чтобы запустить мотор вплоть до номинального режима. На практике нам не удалось запустить асинхронный мотор, когда ключи преимущественно на положительной шине.

ТАБЛИЦА III. СКВАЖНОСТИ ДЛЯ СЕКТОРОВ,  $T_i \in [0,1]$

	I,II	III,IV	V,VI
$T_a$	$u_{ac}$	0	$u_{ab}$
$T_b$	$u_{bc}$	$u_{ba}$	0
$T_c$	0	$u_{ca}$	$u_{cb}$

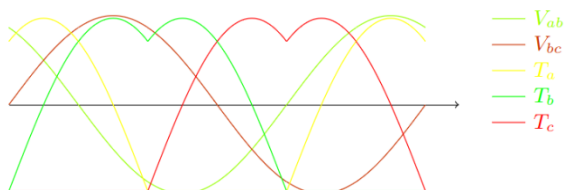


Рис. 9. Графики ШИМ, когда ключи преимущественно на отрицательной шине

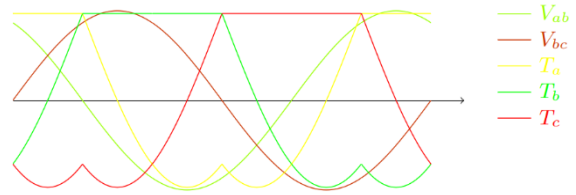


Рис. 10. Графики ШИМ, когда ключи преимущественно на положительной шине

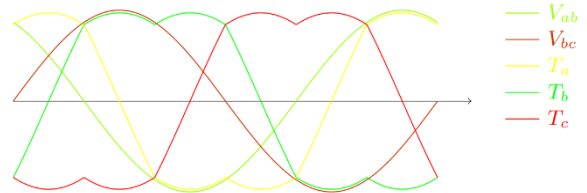


Рис. 11. Графики ШИМ в непрерывном режиме

### III. ЗАКЛЮЧЕНИЕ

Сравнение предложенного алгоритма в непрерывном режиме с алгоритмами, предлагаемыми Texas Instruments, STMicroelectronics, НПФ Мехатроника-Про, Русским электротехническим обществом [6-10] показал: оригинальность алгоритма, алгоритм базируется на измеряемых физических величинах, предложенный алгоритм имеет вдвое меньше операций, если не принимать во внимание вспомогательный алгоритм определения сектора.

Эффективность алгоритма заключается в том, что, в отличие от общей практики, где есть переходы в декартову систему, и затем из декартовой системы в косоугольную систему, в данном алгоритме нет переходов в декартову систему и обратно. Вычисления производятся в косоугольной системе координат.

### БЛАГОДАРНОСТЬ

Авторы выражают благодарность Генеральному директору ООО Русского электротехнического общества, Александру Николаевичу Ильинцеву за помощь, предложенную при проведении данного исследования.

Мы выражаем нашу благодарность студентам группы 1421 Санкт-Петербургского электротехнического университета, в особенности Софье Богма, Людмиле Глазуновой, Кириллу Яговдику, Татьяне Леоновой, Смирновой Маргарите за проверку и тестирование алгоритма на микроконтроллере с программой для инвертора с ШИМ в прерывистом режиме с асинхронным мотором.

### СПИСОК ЛИТЕРАТУРЫ

- [1] Инж. В. Скирль Измерения мощности переменного тока. Энергетическое издательство, 1932.
- [2] Дубровин Б.А., Новиков С.П., Фоменко А.Т. Современная геометрия. Методы и приложения / 2-е изд., перераб. М.: Наука. Гл. ред. физ.-мат. лит., 1986.(на русском)
- [3] Борисенко А.И., Тарапов И.Е. Векторный анализ и начала тензорного исчисления / 3-е изд. М.: Высшая школа, 1966 (на русском)
- [4] О.А. Али Альмушреки, Н.С. Обама, А.Н. Прокшин и др. Измерение тока и напряжения в косоугольных координатах в

- трехфазной обобщенной электрической машине // XXIV Международная конференция по мягким вычислениям и измерениям (SCM-2021) (на русском). С.113-115.
- [5] Olorunfemi Ojo. The Generalized Discontinuous PWM Scheme for Three-Phase Voltage Source Inverters, // IEEE Transactions on Industrial Electronics, vol. 51, No. 6, December 2004, DOI: 10.1109/TIE.2004.837919
- [6] The Digital Motor Control Software Library – <http://www.ti.com/lit/ug/spru485a/spru485a.pdf>.
- [7] Space Vector Generator With Quadrature Control «NPF Mechatronica-Pro» [https://mechatronica-pro.com/sites/default/files/content/product/35/iqsvgen\\_dq\\_eng.pdf](https://mechatronica-pro.com/sites/default/files/content/product/35/iqsvgen_dq_eng.pdf)
- [8] STM32 Motor Control Software Development Kit Rev 5 STMicroelectronics, 2019 file pwm\_curr\_fdbk.c
- [9] Файл на языке C для генерации ШИМ в прерывистом режиме [https://gitbranch.ru/git/trot/0421/src/master/ElCon\\_stm\\_acbc.c](https://gitbranch.ru/git/trot/0421/src/master/ElCon_stm_acbc.c)
- [10] STM32 Motor Control Software Development Kit с модифицированными алгоритмами <https://gitbranch.ru/git/trot/bala>